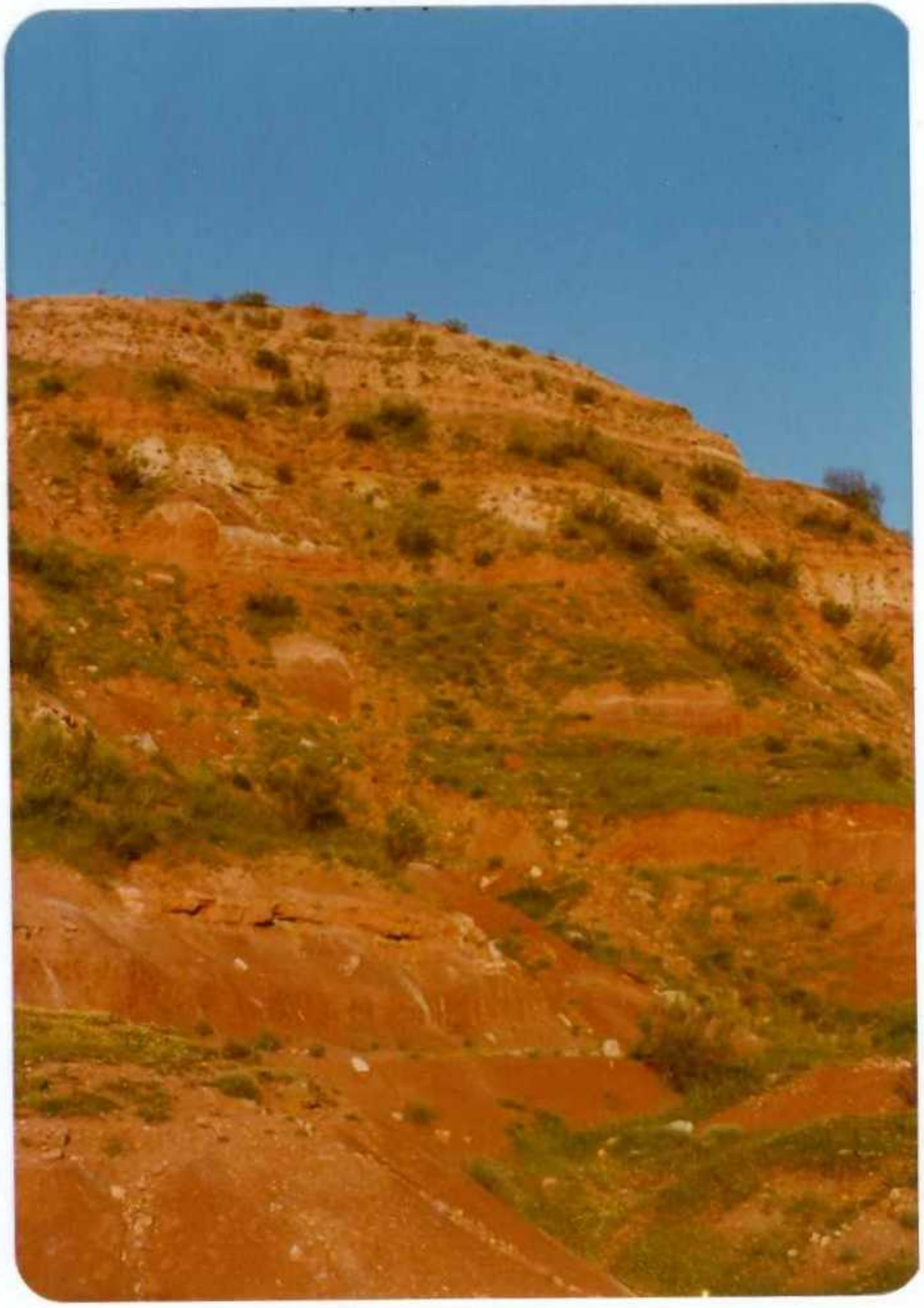


23-33-YC-AG-801.- Afloramientos del Paleozoico (O_1).



23-33-YC-AG-802.- Afloramientos del Trías (TG).



23-33-YC-AG-803.- Afloramientos del Lías Inferior (J_1^1).



23-33-YC-AG-804.- Afloramientos del Lías Inferior-Medio (J_1^2).



23-33-YC-AG-805.- Afloramientos del Malm (J_3).



23-33-YC-AG-806.- Sucesión de escamas.



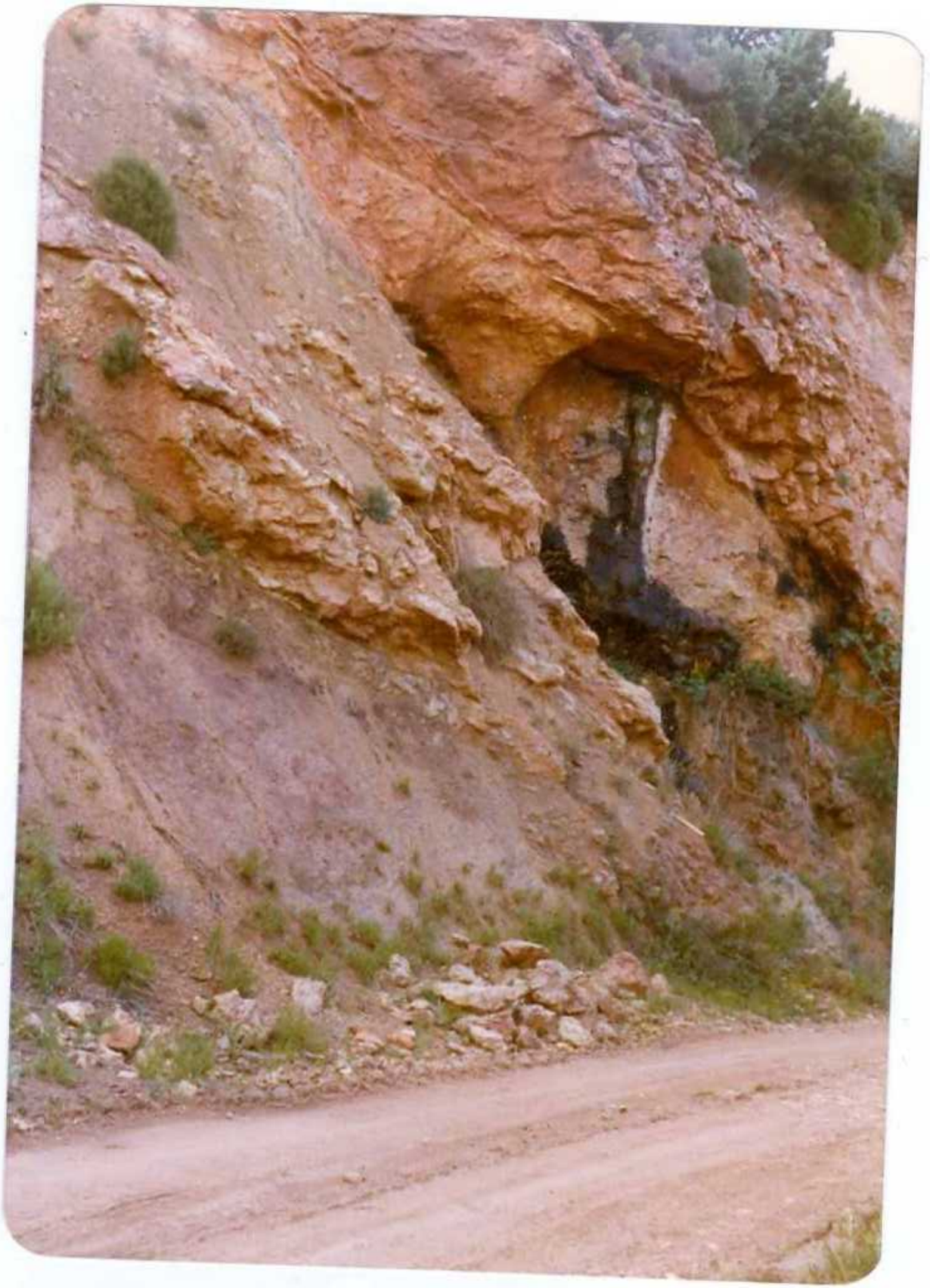
23-33-YC-AG-807.- Serie cretácica de Fuente Carrasca.



23-33-YC-AG-808.- Mioceno limoso de Vianos.



23-33-YC-AG-809.- Cabalgamiento de J_1^1 sobre J_1^2.



23-33-YC-AG-810.- Detalle del anterior cabalgamiento.



23-33-YC-AG-811.- Niveles de Mioceno pinzados por escamas.



23-33-YC-AG-812.- Ejemplo de falla inversa.



23-33-YC-AG-813.- Falla normal que relaciona el Cretácico Inferior con el Dogger.